

استخدام انموذج دالة التحويل ثنائية المدخلات DISO في السلاسل الزمنية المالية

أ.د. جواد كاظم خضرير

نizar_wlyd@uomustansiriyah.edu.iq

الجامعة المستنصرية/كلية الادارة والاقتصاد

جامعة المستنصرية/كلية الادارة والاقتصاد

nazarusa@uomustansiriyah.edu.iq

jwad_k@uomstansiriyah.edu.iq

مختصر البحث

في معظم دراسة تحليل السلاسل الزمنية يلحوظ ان اغلب النماذج التي يتم وصفها بمتغير واحد وقد لا تعطي تنبؤات مستقبلية دقيقة للسلسلة المدروسة، بسبب عدم الاهتمام بعلاقتها مع المؤشرات الخارجية لسلسل زمنية اخرى المرتبطة بها مثلاً هي الحال في نماذج الانحدار المتعدد. ولأهمية هذا النوع من النماذج لكونه يجمع بين الخاصية الحركية للسلاسل الزمنية والخاصية السببية لنماذج الانحدار المتعدد، وبناءً عليه تم تطبيق نماذج دالة التحويل بمدخلات ثنائية - ومخرجات احادية لمشاهدات شهرية تضم ثلاثة سلاسل زمنية للتنبؤ بأحد المؤشرات المالية (عرض النقد) مع سلسلتي المدخلات (القروض والسلف) و (ديون القطاع الخاص). حيث تم في هذا البحث استخدام اسلوب بديل في تشخيص رتب دوال التحويل اعتماداً على طريقة الزاوية (Corner Method)، وتبيين ان رتب دوال التحويل كانت $TF_1(1,0,1)$ ، $TF_2(1,1,1)$ ولعرض التحري عن دقة مطابقة الانموذج (DISO) للبيانات تم تطبيق ثلاثة نماذج اخرى للبيانات المذكورة لا جل المقارنة، اثنان منها تخص نماذج دالة التحويل احادية المدخلات - احادية المخرجات (SISO) فضلاً عن الانموذج ARIMA. وقد اظهرت نتائج التطبيق افضلية الانموذج (DISO) لكونه اعطى اقل قيمة للمعيارين (MSE) و(AIC) بالمقارنة مع النماذج الاخرى.

الكلمات المفتاحية: انموذج دالة التحويل ، السلاسل الزمنية ثنائية المتغيرات ، طريقة الزاوية

هل البحث مستل من رسالة ماجستير؟ نعم

1. المقدمة:

ان نماذج دالة التحويل (TF - Transfer Function) هي احد اصناف نماذج السلاسل الزمنية متعددة المتغيرات ، وتكون بصورة سلسلة واحدة او مجموعة من السلاسل كمدخلات (Inputs) في نظام تؤثر في سلسلة واحدة او اكثر من المخرجات (Outputs) من خلال علاقة دالية يطلق عليها دالة التحويل. لذا فدالة التحويل هي تقنية تحليل السلاسل الزمنية متعددة المتغيرات التي تصف العلاقة الديناميكية بين سلاسل المدخلات والمخرجات. فضلاً عن تأثيرات تلك المدخلات لمنظومة دالة التحويل في المخرجات. حيث اشار كثير من الباحثين ومنهم (Box-Tiao) بأنه يمكن عد نماذج دالة التحويل على انها نماذج ديناميكية وسببية في آن واحد. اما حديثاً، فقد تناول كثير من الباحثين توظيف نماذج دالة التحويل في منظومات السلاسل الزمنية المالية سواء كانت تلك الدالة احادية المتغيرات او ثنائية وحتى المتعددة منها نظراً لأهميةها التطبيقية ودققتها للاداء التنبؤي. ويرمز لنماذج دالة التحويل احادية المدخلات احادية المخرجات (Single Input- Single output) بالرمز (SISO) ، في حين يرمز لنماذج دالة التحويل ثنائية المدخلات احادية المخرجات (Double Input- Single output) بالرمز (DISO).

2. مشكلة البحث:

في تطبيقات نماذج السلسل الزمنية احادية المتغيرات تكون احياناً نتائج التنبؤ وبخاصة في نماذج الانحدار الذاتي – المتوسط المتحرك (ARMA) لا تتناغم على وفق المشاهدات الحقيقية، مما يؤثر في التخطيط واتخاذ القرار الملائم المبني على اساس الاداء التنبؤي، وقد يعزى ذلك الى وجود عوامل خارجية تؤثر في سلوك متغير السلسلة الزمنية. لذا من المفترض البحث عن نماذج بديلة لتلافي هذا القصور. ولعل اهمها هي نماذج دالة التحويل التي تشتمل على الخصائص الاحصائية لنموذج (ARMA) الحركية واسلوب النماذج السببية، وذلك من خلال تضمين متغير خارجي واحد او اكثر ضمن منظومة الانموذج المدروس للحصول على افضل اداء تنبؤي.

3. هدف البحث:

ان مضمون البحث ينطوي على هدفين، الاول هو تقييم اداء الانموذج ثنائي المدخلات - احادي المخرجات من خلال مقارنة دقة الانموذج مع النماذج احادية المدخلات واحادية المخرجات. اما الثاني فيعني بنمذجة بيانات سلسلة عرض النقد باستخدام الانموذج ARIMA(p,d,q) على وفق ما تم تطبيقه عند مرحلة تنقية سلسلتي المدخلات وسلسلة المخرجات (عرض النقد).

4. الاستعراض المرجعي:

وفي عام (1991) تناول الباحث (Liu) تحليل دالة التحويل الخطية (Linear-TF) في نمذجة السلسل الزمنية تطبيقياً. حيث قام بتطبيق طريقة المربعات الصغرى الاعتيادية (OLS) في تقدير معلمات منظومة المدخلات الاحادية وفي عام (2008) نشر كل من (Ding , Ding and Zhang) (2008) نشر كل من (Ding , Ding and Zhang) (2008) بحثاً تناولوا فيه تحديد معلمة الانظمة متعددة المدخلات احادية المخرجات اعتماداً على نماذج استجابة الدافع (الاستجابة النبضية) المحددة (FIR). وفي عام (2018) درس الباحثون (Nwafor [29], Etuk and Emeka) نمذجة دالة التحويل متعدد المتغيرات للمؤشرات الاقتصادية في نيجيريا لمدة (1981-2015) للبيانات التي تضم السلسل الزمنية الجزئية للنتائج المحلي. وهناك العديد من البحوث تناولت موضوع نماذج دالة التحويل بمدخلات احادية وثنائية ومخرجات احادية

5. دالة التحويل Transfer Function [2,8]

على فرض ان (X) و (Y) تمثلان سلسلتين مستقلتين في نظام ديناميكي بمدخلات احادية ومخرجات احادية، وان هاتين السلسلتين ترتبان بواسطة مرشح خطى على وفق الصيغة الآتية:

$$y_t = \sum_{j=-\infty}^{\infty} v_j x_{t-j} = v(B)x_t \quad \dots (2.1)$$

اذ ان : $v(B) = \sum_{j=-\infty}^{\infty} v_j B^j$ تشير الى دالة التحويل للمرشح الخطى (Reinsel,2008). وان تعريف هذا المرشح يكون:

1. ثابت زمنياً، حيث ان المعاملات $\{v_j\}$ لا تعتمد على الزمن.

2. يمكن تحقيقه فعلياً اذا كان $0 < j < 0$ ، اي ان سلسلة المخرجات (y_t) تكون دالة خطية للقيم الحالية والسابقة لسلسلة المدخلات (x_t) :

$$y_t = v_0 x_t + v_1 x_{t-1} + v_2 x_{t-2} + \dots = \sum_{j=0}^{\infty} v_j x_{t-j} \quad \dots (2.2)$$

3. يكون مستقرًا اذا كان $\sum_{j=-\infty}^{\infty} |v_j| < \infty$.

وان المعاملات $\{v_j\}$ في المعادلة (2.2) غالباً ما تسمى اوزان الاستجابة النبضية (Impulse Response Weights)، وكذا لـ (v) فان $\{v\}$ تسمى بدالة الاستجابة النبضية ايضاً. ويتم الحصول على تمثيل اكثراً واقعية للاستجابة عن طريق اضافة حد الخطأ العشوائي (noise) في المعادلة (2.2) وذلك لمراقبة العوامل غير المتوقعة او التي يتم تجاهلها وقد يكون تأثير على الاستجابة ايضاً. ومن ثم يتم التمثيل للاضافة في الانظمة الديناميكية على النحو الاتي:

$$y_t = v(B)x_t + n_t \quad \dots \quad (2.3)$$

اذ ان : n_t : تمثل عملية الضوضاء غير المشاهدة، والذي من المفترض ان تكون (x_t) و (n_t) سلسلتين مستقلتين. ومن ثم فان تمثيل الانموذج في المعادلة (2.3) يطلق عليه انموذج دالة التحويل العشوائي (Noise Model – Transfer Function) الذي يرمز له اختصاراً (TFN). ويلاحظ من خلال المعادلة (2.2) ان تقدير معاملات دالة التحويل ($v(B)$) هي عملية غير ممكنة لكون الدالة تحتوي على عدد غير محدد من المعاملات ، لذا سوف يفترض ان هذه المعاملات في v يمكن تمثيلها على النحو الاتي:

$$\begin{aligned} v(B) &= \sum_{j=0}^{\infty} v_j B^j \\ &= \frac{\omega(B)}{\delta(B)} \\ &= \frac{\omega_0 - \omega_1 B - \omega_2 B^2 - \dots - \omega_s B^s}{1 - \delta_1 B - \delta_2 B^2 - \dots - \delta_r B^r} \quad \dots \quad (2.4) \end{aligned}$$

ولكي تكون منظومة دالة التحويل مستقرة فان جذور المعادلة $0 = \delta(B)$ تفترض ان تقع خارج الدائرة التي نصف قطرها يساوي واحد. ان عدد دوال التحويل يعتمد على عدد المدخلات في منظومة انموذج دالة التحويل، فعند وجود (m) من المدخلات غير المترابطة (uncorrelated inputs) فان ذلك يتربط على عدد (m) من دوال التحويل، وهذا ما يسمى بمنظومة متعددة المدخلات احادية المخرجات (MISO) التي تأخذ الصيغة الاتية:

$$y_t = \sum_{i=1}^m v_i(B)x_{it} + n_t \quad \dots \quad (2.5)$$

وقد بين كل من (Wright and Bacon, 1974) و (Box and Jenkins, 2008) ان دوال التحويل ($v_i(B), i = 1, \dots, m$) يمكن تقديرها بشكل منفرد لكل سلسلة مدخلات مع سلسلة المخرجات بالانموذج (SISO) . ومن ثم يتمربط كل الدوال معاً لتشكيل الانموذج (MISO)، وهذا ما يطلق عليه تسمية الاسلوب التطابقي (Superposition approach).

6. نماذج دالة التحويل ثنائية المدخلات - أحادية المخرجات [7] باستخدام المعادلة (k) يمكن كتابة انموذج دالة التحويل ثنائية المدخلات احادية المخرجات غير الموسمية على النحو الاتي :

$$Y_t = \frac{\omega_{s1}(B)}{\delta_{r1}(B)} B^{b1} X_{1t} + \frac{\omega_{s2}(B)}{\delta_{r2}(B)} B^{b2} X_{2t} + \frac{\theta_n(B)}{\emptyset_n(B)} a_t \dots (2.6)$$

اذ ان :

$$\begin{aligned}\omega_{si}(B) &= \omega_{0i} - \omega_{1i}B - \dots - \omega_{si}B^{si}, i = 1, 2 \\ \delta_{ri}(B) &= 1 - \delta_{1i}B - \dots - \delta_{ri}B^{ri}, i = 1, 2 \\ \theta(B) &= 1 - \theta_1B - \dots - \theta_qB^q \\ \emptyset(B) &= 1 - \emptyset_1B - \dots - \emptyset_pB^p\end{aligned}$$

وفي حالة ان المدخلات غير مستقرة في المتوسط حينئذ يتم اخذ الفروق المناسبة (d) ، وبذلك تكون صيغة الانموذج كما يأتي :

$$(1 - B)^d Y_t = \frac{\omega_{s1}(B)}{\delta_{r1}(B)} (1 - B)^d B^{b1} X_{1t} + \frac{\omega_{s2}(B)}{\delta_{r2}(B)} (1 - B)^d B^{b2} X_{2t} + \frac{\theta_n(B)}{\emptyset_n(B)} a_t \dots (2.7)$$

7. مراحل بناء الانموذج (DISO): [1,2,6, 8]
ان بناء الانموذج (DISO) يقع في اربع مراحل ، حيث تتضمن المرحلة الاولى بناء دوال التحويل بعد تحضير المدخلات وتنقيتها مع سلسلة الاستجابة كل على حدة ، ومن ثم يتم ربطها معاً في انموذج واحد لاتمام مرحلة البناء الاولى مع ايجاد التقدير الاولى لسلسلة الاخطاء (a_t) ويلي ذلك تشخيص سلسلة الاخطاء بالانموذج ARIMA($p_n, 0, q_n$) .

اما في المرحلة الثانية فيتم ايجاد التقديرات الاولية والنهائية لمعلمات الانموذج ، فيما تتضمن المرحلة الثالثة اختبار ملائمة دقة الانموذج ، وتنطوي المرحلة الاخيرة على استخدام الانموذج النهائي في عملية التنبؤ . وفيما يأتي ايجاز للمراحل الاربعة

1.7 المرحلة الاولى :

1.7.1 اعداد سلسلتي المدخلات والمخرجات

يقصد بالاعداد هنا هو تحضير سلسلتي المدخلات والمخرجات من حيث الاستقرارية في التباين والمتوسط فضلاً عن ازالة التأثير الموسمي ، وفي حالة عدم استقرار السلسلة في المتوسط فينبعي اخذ الفروق المناسبة . حيث تتحقق الاستقرارية على الاغلب عند الفرق الثاني. وعلى سبيل التمثال أن سلسلة الادخال كانت غير مستقرة في المتوسط مع وجود التأثير الموسمي فينبعي اجراء التحويل الآتي $x_t = (1 - B)^d X_t$:

$$y_t = (1 - B)^d Y_t$$

2.1.7 تنقية سلسلتي المدخلات والمخرجات

في انموذج دالة التحويل ينبعي تنقية سلسلة المدخلات من خلال تحويلها الى سلسلة عشوائية وذلك بمطابقة احد نماذج (Box-Jenjins) لسلسلة المدخلات وعلى النحو الاتي :

$$\alpha_t = \frac{\emptyset_x(B)}{\theta_x(B)} x_t \dots (2.8)$$

ولكون انموذج (MISO) مؤلفاً من ثلاث دوال تحويل فسوف يستخدم الاسلوب نفسه لسلسل المدخلات (x_{1t}, x_{2t}) في عملية تحويلها الى سلاسل عشوائية غير مرتبطة . اي ان :

$$\alpha_{it} = \frac{\emptyset_{x_i}(B)}{\theta_{x_i}(B)} x_{it}, i = 1, 2 \quad \dots (2.9)$$

ومن ثم فالاسلوب المطبق في سلسلة المدخلات يتم تطبيقه مباشرة لسلسلة المخرجات بستخدام التحويل نفسه الذي طبق على سلاسل المدخلات . اي ان :

$$\beta_{it} = \frac{\emptyset_{x_i}(B)}{\theta_{x_i}(B)} y_t, i = 1, 2 \quad \dots (2.10)$$

اذ ان :

$\emptyset_{x_i}(B)$: متعددة الحدود لمركبة الانحدار الذاتي للسلسلة (i)

$\theta_{x_i}(B)$: متعددة الحدود لمركبة المتوسط المتحرك للسلسلة (i)

α_{it} : سلسلة الخطأ العشوائي الناتجة عن مطابقة سلسلة المدخلات

β_{it} : سلسلة الخطأ العشوائي الناتجة عن مطابقة سلسلة المخرجات

3.1.7 حساب معاملات دالة الارتباط المقاطع [1,3,4]

تعد معاملات دالة الارتباط المقاطع (CCF) الاداة الرئيسية في تشخيص نماذج دوال التحويل سواء كانت أحادية ام متعددة المدخلات . فعلى فرض ان (x_t) و (y_t) تمثلان سلسلتي المدخلات والمخرجات على التوالي ، وهما عمليتان مستقرتان بشكل مشترك (Jointly Stationary) فعليه يكون :

$$\gamma_{xy}(k) = E(x_t - \mu_x)(y_{t+k} - \mu_y), \quad k = 0, \pm 1, \pm 2, \dots \quad \dots (2.11)$$

اذ ان (x_t) و (y_t) تمثل دالة التغایر المقاطع بين (x_t) و (y_{t+k}) .

وبناءً عليه فإن دالة الارتباط المقاطع تكون على النحو الاتي :

$$\rho_{xy}(k) = \frac{\gamma_{xy}(k)}{\sigma_x \sigma_y}, \quad k = 0, \pm 1, \pm 2, \dots$$

اذ ان (σ_x) و (σ_y) هما الانحرافات المعيارية للسلسلتين (x_t) و (y_t). ومن الجدير بالذكر ان

$\rho_{xy}(k) \neq \rho_{yx}(k)$ ويعني ان دالة الارتباط المقاطع تكون غير متماثلة .

اما تقدير هذه الدالة فيتم من خلال دالة الارتباط المقاطع للعينة وكما يأتي :

$$\hat{\rho}_{xy}(k) = \frac{\hat{\gamma}_{xy}(k)}{S_x S_y}, \quad k = 0, \pm 1, \pm 2, \dots \quad \dots (2.12)$$

فضلاً عن ذلك ان ($\hat{\gamma}_{xy}(k)$) تأخذ الصيغة الاتية:

$$\hat{\gamma}_{xy}(k) = \begin{cases} \frac{1}{n} \sum_{t=1}^{n-k} (x_t - \bar{x})(y_{t+k} - \bar{y}) & k \geq 0 \\ \frac{1}{n} \sum_{t=1-k}^n (x_t - \bar{x})(y_{t+k} - \bar{y}) & k < 0 \end{cases} \dots (2.13)$$

وان (\bar{x}) و (\bar{y}) اوساط العينة للسلسلتين (x_t) و (y_t) على التوالي. وان دالة الارتباط المتقاطع ($\rho_{xy}(k)$) تمثل مقدراً متقدماً ينبع التوزيع الطبيعي بمتوسط (صفر) وتباين ($\frac{1}{\sqrt{n-k}}$). اي ان

4.1.7 تقدير اوزان دالة الاستجابة النبضية

يمكن تقدير اوزان الاستجابة النبضية لانموذج (DISO) على النحو الاتي:

$$v_k = \frac{\gamma_{\alpha\beta}(k)}{\sigma_\alpha^2} = \frac{\rho_{\alpha\beta}(k)\sigma_\beta}{\sigma_\alpha} \dots (2.14)$$

وبالتعويض عن قيم العينة ، فأن تقدر اوزان الاستجابة النبضية لانموذج ثانوي المدخلات احادي المخرجات (DISO) فيكون على النحو الاتي:

$$v_{ki} = \frac{\hat{\rho}_{\alpha_i\beta_i}(k)\hat{\sigma}_{\beta_i}}{\hat{\sigma}_{\alpha_i}} , i = 1, 2 \dots (2.15)$$

5.1.7 وصف وتحديد معلمات دالة التحويل

بعد تحديد قيم معلمات دالة التحويل المحور المهم في بناء انموذج دالة التحويل سواء كان احادياً ام متعدد المدخلات. وتشتمل هذه الدالة على ثلاثة معلمات هي (r, s, b)، حيث ان:

b: معلمة التأخير التي توضح الفارق الزمني الذي ينقضى قبل ان يؤثر نسب متغير الادخال في متغير الاصدار . او هي الفترة المقابلة لاول ارتباط متقاطع معنوي بين سلسلتي المدخلات والمخرجات.

r : معلمة التغيرات النمطية في ميل دالة التحويل وهي تمثل درجة الدالة ($\delta_r(B)$ ، اي ان (r) تحدد بواسطة النمط الذي تأخذ اوزان الاستجابة النبضية.

s : معلمة الانحدار التي تحدد عدد فترات التأخير لارتفاعات غير النمطية في دالة التحويل ، اي انها تحدد بواسطة النمط الذي تأخذ اوزان الاستجابة النبضية بالتناقص.

ان دالة التحويل في المعادلة (2.4) يمكن كتابتها على النحو الاتي

$$\delta_r(B)v(B) = \omega_s(B)B^b$$

$$(1 - \delta_1 B - \cdots - \delta_r B^r)(v_0 + v_1 B + v_1 B^2 + \cdots) = (\omega_0 - \omega_1 B - \cdots - \omega_s B^s)B^b$$

و عند مساواة معاملات (B) للطرفين يكون:

$$\begin{aligned} v_j &= 0 & j < b \\ v_j &= \delta_1 v_{j-1} + \cdots + \delta_r v_{j-r} + \omega_0 & j = b \\ v_j &= \delta_1 v_{j-1} + \cdots + \delta_r v_{j-r} - \omega_{j-b} & j = b+1, \dots, b+s, \dots \\ v_j &= v_j = \delta_1 v_{j-1} + \cdots + \delta_r v_{j-r} & j > b+s \end{aligned} \dots (2.16)$$

وقد بين كل من (Tsay,2009) و (Gil, Gonzales and Gabino,2010) ان هناك اسلوب آخر في تحديد قيم المعلمات (r, s, b) يطلق عليه تسمية طريقة الزاوية (Corner Method)

وتوصف هذه الطريقة على انها تصميم مصفوفة مربعة توضع في جدول يوضح فيه الانماط التي تلحظ من خلال اوزان الاستجابة النبضية (v_j). وهذا الجدول صفوفه مرتبة بـ (0,1,2,...,0) واعمدته مرتبة بـ (1,2,...,1). وباستخدام الصيغة الآتية:

$$u(B) = \frac{v(B)}{v_{max}} \quad \dots (2.17)$$

اذ ان $v_{max} = \max(|v_j|)$. ومن ثم ان عناصر الجدول تكون على النحو الاتي :
جدول (1) سلوك اوزان الاستجابة النبضية لدالة التحويل عند تطبيق طريقة الزاوية

(i,j)	1	2	...	$r-1$	r	$r+1$...
0	0	0	...	0	0	0	...
1	0	0	...	0	0	0	...
\vdots							
$b-1$	0	0	\vdots	0	0	0	\vdots
b	\times	\times	...	\times	\times	\times	...
\vdots							
\vdots							
$b+s$	\times	\times	...	\times	\times	\times	...
$b+s+1$	*	*	...	*	\times	0	...
$b+s+2$	*	*	...	*	\times	0	...
\vdots							
\vdots							

وان العنصر في كل خلايا الجدول يمثل قيمة محدد المصفوفة الاباسية بالرتبة $(j \times j)$.

$$M(i,j) = \begin{bmatrix} u_i & u_{i-1} & \cdots & u_{i-j+1} \\ u_{i+1} & u_i & \cdots & u_{i-j+2} \\ \vdots & \vdots & \ddots & \vdots \\ u_{i+j-1} & u_{i+j-2} & \cdots & u_i \end{bmatrix} \quad \dots (2.18)$$

اذ ان $0 = u_h$ لكل $0 < h$ ، و العلامة (\times) تشير الى ان قيمة العنصر ($j \times i$) معنوية والعلامة (*) تشير الى ان قيمة العنصر (i,j) تتناقض بالتدرج. وفي هذا الجدول يكون نمط قيم العناصر هو الاساس في تحديد قيم المعلمات (r, s, b) وعلى النحو الاتي:

اولاً: قيمة المعلمة (b) تمثل رقم الصف الذي تكون فيه قيمة العنصر (i,j) معنوية.

ثانياً: قيمة المعلمة (r) تمثل رقم العمود الذي تكون فيه قيمة العنصر للصف (b) اكبر ما يمكن .

ثالثاً: قيمة المعلمة (s) تحدد بعد القيم المعنوية بعد الصف (b) بحيث تصل قيمة العنصر (i,j) اكبر ما يمكن ثم تبدأ القيم بالتناقص.

6.1.7 تقدير سلسلة الخطأ n_t

يتم تقدير سلسلة الخطأ (n_t) للنموذج (DISO) اعتماداً على تقدير الاوزان لدوال التحويل $v_2(B), v_1(B)$. حيث ان :

$$+n_t Y_t = v_1(B)X_{1t} + v_2(B)X_{2t}$$

اذ ان :

$$v_1(B) = v_{01} + v_{11}B + v_{21}B^2 + \dots + v_{h1}B^{h1}$$

$$v_2(B) = v_{02} + v_{12}B + v_{22}B^2 + \dots + v_{h2}B^{h2}$$

وبذلك فسلسلة الخطأ (n_t) تكون:

$$n_t = Y_t - Y_{1t} - Y_{2t} \dots (2.19)$$

اذ ان:

$$Y_{1t} = \delta_{r1}^{-1}(B)\omega_{s1}(B)X_{1t-b1}$$

$$Y_{2t} = \delta_{r2}^{-1}(B)\omega_{s2}(B)X_{2t-b2} \dots (2.20)$$

وعندما تكون سلسلة المخرجات وسلسل المدخلات غير مستقرة فيمكن أخذ الفروق الملائمة لجعل منظومة (DISO) مستقرة.

7.1.7 بناء الانموذج الملائم لسلسة الخطأ (n_t) باستخدام ARIMA($p_n, 0, q_n$) باستخدان (n_t).
ان عملية تقدير الانموذج (DISO) تتطلب تشخيص الانموذج الملائم لسلسلة الاخطاء (n_t).
وطبقاً لذلك يتم مطابقة مشاهدات سلسلة الاخطاء (n_t) بالانموذج ARIMA($p_n, 0, q_n$). حيث يتم
مبنياً تحديد رتبة الانموذج المطبق من خلال تحليل سلوك دالتي الارتباط الذاتي (ACF) والذاتي
الجزئي(PACF)، اذ ينبغي ان تكون السلسلة مستقرة وبذلك فان ($b=0$). وباعادة كتابة الانموذج
للسلسلة (n_t) على وفق الصيغة الآتية :

$$n_t = \frac{\theta_n(B)}{\phi_n(B)} a_t = \emptyset_n^{-1}\theta_n(B)a_t \dots (2.21)$$

اذ ان $\emptyset_n(B)$ و $\theta_n(B)$ تمثلان متعددات الحدود لمركبتي الانحدار الذاتي والمتوسط المتحرك
للسلسلة (n_t). وان a_t تمثل سلسلة الباقي للانموذج النهائي.

وتأسيساً على ذلك فان الانموذج النهائي يمكن كتابته بالصيغة الآتية:

$$\dots (2.22) Y_t = \frac{\omega_{s1}(B)}{\delta_{r1}(B)} X_{1t-b1} + \frac{\omega_{s2}(B)}{\delta_{r2}(B)} X_{2t-b2} + \frac{\theta_n(B)}{\emptyset_n(B)} a_t$$

2.7 المرحلة الثانية: تقدير معلمات انموذج دالة التحويل [8, 5]

1.2.7 التقدير الاولى للمعلمات :

باستخدام المعادلات (2.16) الخاصة بأوزان الاستجابة النسبية مع دوال الانموذج (B) و
(B). وبعد حساب تقديرات تلك الاوزان يتم ايجاد التقديرات الاولية لمعلمات دوال التحويل الثلاث .
ومن ثم يتم تقدير معلمات سلسلة الاخطاء (n_t). وبعد اكتمال مجموعة التقدير لمعلمات النموذج يكون
حينئذ تم الحصول على التقديرات الاولية للانموذج (DISO) .

2.2.7 التقدير النهائي للمعلمات :

بعد الحصول على التقديرات الاولية لانموذج دوال التحويل (MISO) يتم ايجاد التقديرات النهائية
باستخدام خوارزميات المربعات الصغرى غير الخطية للمعلمات الآتية:

$$\beta'_0 = (\omega_1, \delta_1, \omega_2, \delta_2, \emptyset_1, \theta_1)$$

اذ ان :

$$\omega_1 = (\omega_{01,0}, \omega_{11,0}, \dots, \omega_{s1,0}), \delta_1 = (\delta_{11,0}, \delta_{21,0}, \dots, \delta_{r1,0})$$

$$\omega_2 = (\omega_{02,0}, \omega_{12,0}, \dots, \omega_{s2,0}), \delta_2 = (\delta_{12,0}, \delta_{22,0}, \dots, \delta_{r2,0})$$

$$\emptyset_1 = (\emptyset_{1,0}, \emptyset_{2,0}, \dots, \emptyset_{p,0}), \theta_1 = (\theta_{1,0}, \theta_{2,0}, \dots, \theta_{q,0})$$

ان القيم المحسوبة لبواقي الانموذج (a_t) بواسطة قيم المعلمات (β_0) يتم حساب المشتقات الآتية:

$$d_{ji,t}^{(\omega)} = -\frac{\partial a_t}{\partial \delta_{ji}} \Big|_{\beta_0}, i = 1, 2$$

$$d_{ji,t}^{(\delta)} = -\frac{\partial a_t}{\partial \omega_{ji}} \Big|_{\beta_0}, i = 1, 2$$

$$d_{ji,t}^{(\emptyset)} = -\frac{\partial a_t}{\partial \emptyset_g} \Big|_{\beta_0}, d_{ji,t}^{(\theta)} = -\frac{\partial a_t}{\partial \theta_h} \Big|_{\beta_0}$$

وبنشر سلسلة تايلور لسلسلة البواقي (B) $a_t = a_t(\mathbf{B})$ حول قيم المعلمة $\beta_0 = \beta$ فان السلسلة ($a_{t,0}$) يمكن كتابتها على النحو الآتي:

$$a_{t,0} \cong \sum_{i=1}^2 \sum_{j=1}^s (\omega_{ji} - \omega_{ji,0}) d_{ji,t}^{(\omega)} + \sum_{i=1}^2 \sum_{v=1}^r (\delta_{vi} - \delta_{vi,0}) d_{vi,t}^{(\delta)}$$

$$+ \sum_{g=1}^p (\emptyset_g - \emptyset_{g,0}) d_{g,t}^{(\emptyset)}$$

$$+ \sum_{h=1}^q (\theta_h - \theta_{h,0}) d_{h,t}^{(\theta)} \quad \dots (2.24)$$

ومن ثم فان التعديلات التي يتم الحصول عليها لكل من $(\omega_{ji} - \omega_{ji,0})$ ، $(\delta_{vi} - \delta_{vi,0})$ ، $(\emptyset_g - \emptyset_{g,0})$ و $(\theta_h - \theta_{h,0})$ يتم اضافتها الى التقدير الاولى لـ (β_0) ومطابقة العلاقة الخطية باستخدام اسلوب المربيعات الصغرى للحصول على مجموعة اخرى من التقديرات ، وهكذا حين الحصول على قيم تقديرية بالتقارب.

3.2.7 المرحلة الثالثة: فحص ملائمة الانموذج Diagnostic Checking of model
بعد تشخيص وتقدير الانموذج (DISO) وايجاد قيم سلسلة البواقي النهائية، ينبغي اجراء اختبارين على النحو الآتي:

اولاً: اختبار التحقق من عشوائية سلسلة البواقي بعد حساب معاملات دالة الارتباط الذاتي للسلسلة ومن ثم وتطبيق اختبار (Box - Pierce) طبقاً للصيغة الآتية:

$$\chi^2(m) = Q = (n - p - d - q) \sum_{k=1}^h r_{a_t}^2(k) \quad \dots (2.25)$$

وان $m = (h - p - d - q)$ ، وان (h) تمثل اكبر ازاحة . وان سلسلة البواقي تكون عشوائية اذا كانت القيمة (Q) المحسوبة اقل من قيمتها الجدولية تحت مستوى احتمالي معين.
ثانياً: اختبار التتحقق من استقلالية سلسلة البواقي مع كل سلسلة من سلاسل المدخلات التقية α_{1t} و α_{2t} و α_{3t} . حيث يتم حساب معاملات دالة الارتباط المتقطع بين كل سلسلة مدخلات نقية مع سلسلة البواقي ومن ثم تطبيق الاختبار الآتي:

$$\chi^2(m) = S_i = (n - 1 - n^*) \sum_{k=1}^h r_{\alpha\alpha_i}^2(k) \quad , i = 1, 2, 3 \quad \dots (2.26)$$

وان $n^* = \max\{p_x, s + b + p_n\}$ ، وان رتبة الانحدار الذاتي لسلال المدخلات كل على حدة. حيث ان (S_i) تتبع توزيع χ^2 بدرجة حرية $(h - 1 - r - s)$. وان السلسلتين مستقلتان اذا كانت قيمة (S_i) المحسوبة اقل من قيمتها الجدولية تحت مستوى احتمالي معين.

4.2.7 المرحلة الرابعة : التنبؤ [5, 8] Forecasting
ان مرحلة التنبؤ تعتمد على تقديرات قيم سلاسل المدخلات الثلاث (X_{1t}, X_{2t}, X_{3t}) للحصول على القيم التنبؤية لسلسلة المخرجات (Y_t). وعلى فرض ان الانموذج المقدر النهائي لدالة التحويل (DISO) كان على النحو الاتي :

$$Y_t = \delta_{r1}^{-1}(B)\omega_{s1}(B)B^{b_1}X_{1t} + \delta_{r2}^{-1}(B)\omega_{s2}(B)B^{b_2}X_{2t} + \delta_{r3}^{-1}(B)\omega_{s3}(B)B^{b_3}X_{3t} + \theta^{-1}(B)\theta(B)a_t \quad \dots (2.27)$$

ان متوسط مربعات خطأ التنبؤ يكون:

$$\begin{aligned} E[Y(t+L) - \hat{Y}_t(L)]^2 &= \sigma_{X_1}^2 \sum_{j=0}^{L-1} v_1^2(j) + \sigma_{X_2}^2 \sum_{j=0}^{L-1} v_2^2(j) + \sigma_a^2 \sum_{j=0}^{L-1} \Psi^2(j) + \sum_{j=0}^{\infty} [\{v_1(L+j) \\ &- v_1^0(t+j)\}^2 \sigma_{\alpha_1}^2 + \{v_2(L+j) - v_2^0(t+j)\}^2 \sigma_{\alpha_2}^2 + \{\Psi(L+j) \\ &- \Psi^0(L+j)\} \sigma_a^2] \end{aligned}$$

وبذلك فان تنبؤ الخطوة (L) يكون على النحو الاتي:

$$\begin{aligned} \hat{Y}_t(L) &= E[Y(t+j)] \\ &= \delta_1^* \hat{Y}(t+L-1) + \dots + \delta_{p^*+r1+r2+r3}^* \hat{Y}(t+L-p^*-r1-r2-r3) \\ &\quad + \omega_{0,1}^* \hat{X}_1(t+L-b_1) + \dots + \omega_{(p^*+s_1),1}^* \hat{X}_1(t+L-b_1-p^*-s_1) \\ &\quad + \omega_{0,2}^* \hat{X}_2(t+L-b_2) + \dots + \omega_{(p^*+s_2),2}^* \hat{X}_2(t+L-b_2-p^*-s_2) \\ &\quad + \hat{a}(t+L) - \theta_1^* \hat{a}(t+L-1) - \dots \\ &\quad \dots (2.28) - \theta_{q+r1+r2+r3}^* \hat{a}(t+L-q-r1-r2-r3) \end{aligned}$$

$$\begin{aligned} \hat{Y}_t(t+j) &= \begin{cases} Y(t+j) & , j \leq 0 \\ \hat{Y}_t(j) & , j > 0 \end{cases} \\ , i = 1, 2 \quad \hat{X}_i(t+j) &= \begin{cases} X_i(t+j) & , j \leq 0 \\ \hat{X}_i(j) & , j > 0 \end{cases} \\ \hat{a}(t+j) &= \begin{cases} a(t+j) & , j \leq 0 \\ 0 & , j > 0 \end{cases} \quad \dots (2.29) \end{aligned}$$

8. وصف البيانات :

تم التركيز في الجانب التطبيقي على أحد اهم المؤشرات المالية المهمة المتمثلة بعرض النقود . حيث تم استخدام ثلاثة سلاسل زمنية تم تجميعها وتبويبها من المنشورات السنوية للبنك المركزي العراقي ضمن الموقع الالكتروني بالمدبرية العامة للاحصاء والابحاث. وتم استخدام عينة مؤلفة من (n = 96) مشاهدة شهرية تعود للسنوات (2015-2022). وقد تمثلت متغيرات هذه السلاسل بما

يأتي: Y_t : وتمثل مشاهدات سلسلة عرض النقد على الامد القصير. X_{1t} : وتمثل مشاهدات سلسلة القروض والسلف و X_{2t} : وتمثل مشاهدات سلسلة ديون القطاع الخاص والقطاعات الأخرى. ومن ثم استخدام قيم المتغيرات الثلاث (X_{2t}, X_{1t}) كسلال مدخلات في منظومة دالة التحويل ، في حين ان متغير سلسلة المخرجات متمثلاً بـ(Y_t).
1.8 اختبار الاستقلالية لسلال المدخلات :

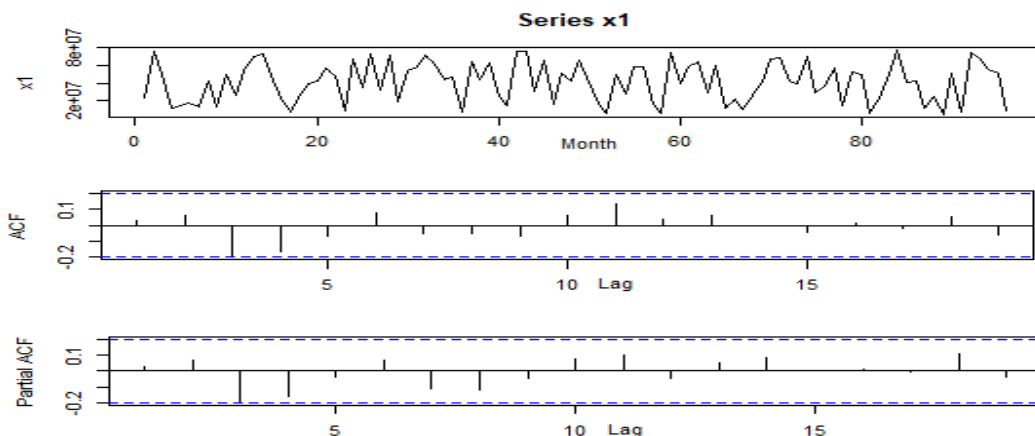
تم استخدام اختبار بوكس- بيرس (Box - Pierce) للتحقق من استقلالية سلال المدخلات اعتماداً على معاملات دالة الارتباط الذاتي المتقاطع (Cross Autocorrelation Function) بين سلسلتي الادخال على حدة. حيث تم حساب تلك المعاملات كما في الجدول (2). وكانت قيمة الاختبار مساوية الى (28.338) وهي اصغر من القيم الجدولية بمستوى معنوية (0.05) المساوية الى (32.67) وبذلك لا يمكن رفض الفرضية (H_0) التي تنص على ان السلاسلين مستقلتان.

جدول (2) قيم معاملات دالة الارتباط المتقاطع بين سلسلتي المدخلات مع بعضها

k	$r_{X_1 X_2}(k)$	k	$r_{X_1 X_2}(k)$
0	0.007751	10	- 0.061112
1	0.122809	11	0.064353
2	0.144461	12	0.098065
3	0.007003	13	- 0.002695
4	- 0.109181	14	- 0.098210
5	- 0.146027	15	0.004921
6	- 0.013560	16	- 0.083977
7	- 0.210544	17	- 0.167628
8	- 0.017698	18	- 0.279883
9	0.062434	19	0.191048

2.8 بناء انموذج دالة التحويل ثنائي المدخلات-احادي المخرجات (DISO)
ويتضمن بناء الانموذج على تشخيص ثلات دوال تحويل ، الدالة الاولى لسلسلة المدخلات (X_{1t}) وسلسلة المخرجات (Y_t) و الدالة الثانية لسلسلة المدخلات (X_{2t}) وسلسلة المخرجات (Y_t) وكل منها يطلق عليها المنظومة (SISO) التي تشتمل على ست مراحل .
1.2.8 الدالة الاولى لسلسلة المدخلات (X_{1t}) وسلسلة المخرجات (Y_t)
1.1.28. المرحلة الاولى: تشخيص دالة التحويل الاولى

قبل البدء بعملية التخمين ينبغي تحديد سلوك سلسلة المدخلات (X_{1t}) من حيث الاستقرارية من أجل تحديد انموذج ARIMA الملائم لها. وتأسياً على ذلك تم رسم السلسلة وكذلك رسم معاملات دالتي الارتباط الذاتي (ACF) والارتباط الذاتي الجزئي (PACF) كما في الشكل (1).



شكل(1) رسم السلسلة (X_{1t}) ومعاملات دالتي الارتباط الذاتي (ACF) والجزئي (PACF) ومن خلال رسم قيم السلسلة الزمنية في الشكل (1) يتبيّن ان السلسلة مستقرة في المتوسط ولا تحتاج الى اجراء تحويلات ، فضلاً من ان قيمة احصاء اختبار ديكي فولر الموسع (ADF) مساوية الى (-0.293) باحتمال (0.000) وهذا يعني ان سلسلة المدخلات (X_{1t}) مستقرة ولا تمتلك جذر الوحدة.

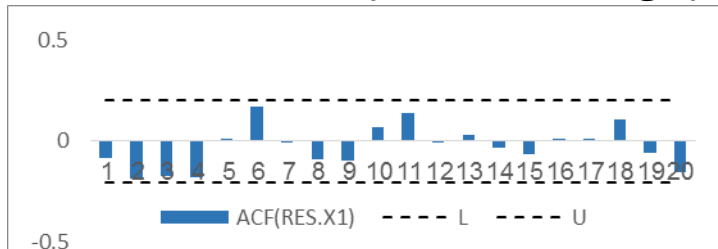
2.1.2.8 المرحلة الثانية : تنقية سلسلة المدخلات (X_{1t})

في هذه المرحلة يتم تحديد الانموذج الملائم لسلسلة المدخلات وذلك من خلال معرفة سلوك معاملات دالتي الارتباط الذاتي (ACF) والجزئي (PACF). ونظرًا لعدم سلوك هاتين الدالتين السلوك النظري طبقاً لمنهجية بوكس - جينكنز ، فقد تم توفيق مجموعة من النماذج المقترنة ومن ثم اختيار الانموذج الذي يطرح اقل قيمة لمعايير المقارنة (AIC, AICC, BIC). وبذلك كان الانموذج ARIMA(2,0,0) هو الاكثر ملائمة لمشاهدات سلسلة المدخلات (X_{1t}) لامتنانه اقل القيم لمعايير المقارنة المذكورة . اما القيم التقديرية لمعلمات الانموذج فقد كانت على وفق الجدول الاتي:

جدول (3) نتائج تقدير الانموذج ARIMA(2,0,0) للسلسلة (X_{1t})

Parameters	ϕ_1	ϕ_2
values	0.4183	0.4582
s.e.	0.0912	0.0929
p-value	0.000	0.000
Log-likelihood	-1775.62	
MSE of Model	6.853e+14	
AIC	3557.233	

ومن خلال سلوك معاملات دالة الارتباط الذاتي لبواقي الناتجة عن مطابقة مشاهدات سلسلة المدخلات (X_{1t}) الموضحة في الشكل (2) يتبيّن ان قيمها غير معنوية وتقع داخل حدود الثقة ± 0.204 وهذا يشير الى ان هذه المعاملات مقبولة.



شكل (2) رسم معاملات دالة الارتباط الذاتي (ACF) لبواقي الانموذج ARIMA(2,0,0) وان قيمة احصاء اختبار بوكس - بيرس (Box - Pierce) كانت مساوية الى 21.244 وهي قليلة من قيمتها الجدولية بدرجة حرية (18) ومستوى معنوية (0.05) المساوية الى 28.87 فهذا يعني ان سلسلة البواقي عشوائية وان الانموذج ARIMA(2,0,0) كان ملائماً لسلسلة المدخلات (X_{1t}). وتأسياً على ذلك فان الانموذج المقدر النهائي يكون :

$$(1 - 0.4183B - 0.4582B^2)X_{1t} = \alpha_{1t}$$

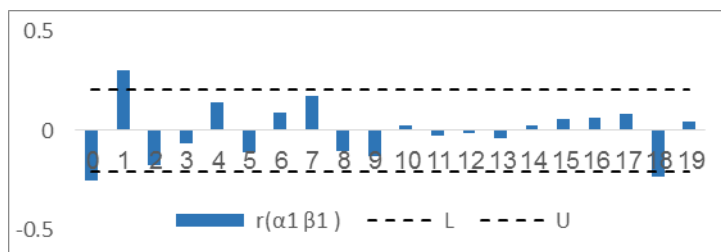
اما تتنفس سلسلة المخرجات Y_t فيتم طبقاً الى تتنفس المدخلات ، اي ان :

$$(1 - 0.4183B - 0.4582B^2)Y_t = \beta_{1t}$$

3.1.2.8 المرحلة الرابعة: حساب معاملات الارتباط المتقطع للسلسلتين (α_{1t} و β_{1t}) تم احتساب هذه المعاملات على وفق المعادلة (2.12) كما في الجدول (4) ومن ثم رسمها في الشكل (3). ويلاحظ من خلال الشكل ان قيمة معامل الارتباط المتقطع عند الازاحة (صفر) كانت معنوية وهذا يشير الى ان ($b_1 = 0$). فضلاً عن ذلك، فان تلك المعاملات تتناقص بعد الازاحة الاولى ثم تتزايد بشكل منحنى جببي مما يشير الى ان ($r_1 = 1$) . اما ($s_1 = r_1$) فمن الصعوبة بمكان تحديد قيمتها . لذا سيتم استخدام طريقة الزاوية اعتماداً على اوزان الاستجابة النسبية .

جدول (4) قيم الارتباطات المتقطعة بين السلسلتين (α_{1t}) و (β_{1t})

k	$r_{\alpha_1 \beta_1}(k)$	k	$r_{\alpha_1 \beta_1}(k)$
0	-0.21488	10	0.02435
1	0.29974	11	-0.02379
2	-0.17227	12	-0.01503
3	-0.06478	13	-0.03761
4	0.13790	14	0.02765
5	-0.11193	15	0.05620
6	0.08789	16	0.06364
7	0.17337	17	0.08311
8	-0.10176	18	-0.22825
9	-0.12912	19	0.04757



شكل (3) رسم معاملات الارتباط المتقاطع بين السلسلتين (α_{1t}) و (β_{1t})

4.1.2.8 المرحلة الخامسة: تقدير اوزان الاستجابة النبضية

تم حساب اوزان الاستجابة النبضية على وفق المعادلة (2.15) ، وان الانحراف المعياري للسلسلتين (α_{1t}) و (β_{1t}) كان مساوياً الى (1.590539E+14) و (1.590539E+14) على التوالي. وبذلك فان تلك الاوزان تكون على النحو الاتي:

$$r_{\alpha_1 \beta_1}(k)v_{1k} = \frac{r_{\alpha_1 \beta_1}(k)s_{\beta_1}}{s_{\alpha_1}} = 1.7563627$$

والجدول (5) يوضح اوزان الاستجابة النبضية لكل قيم ($k = 0, 1, \dots, 19$).

جدول (5) قيم اوزان الاستجابة النبضية بين السلسلتين (α_{1t}) و (β_{1t})

k	v_j	k	v_{1j}
0	-0.4371	10	0.0428
1	0.5265	11	-0.0418
2	-0.3026	12	-0.0264
3	-0.1138	13	-0.0661
4	0.2422	14	0.0486
5	-0.1966	15	0.0987
6	0.1544	16	0.1118
7	0.3045	17	0.1460
8	-0.1787	18	-0.4009
9	-0.2268	19	0.0836

5.1.2.8 المرحلة السادسة: تحديد رتبة دالة التحويل الاولى

لاعتماد اوزان الاستجابة النبضية على معاملات الارتباط المتقاطع فهي كذلك لا يعتمد عليها في تحديد رتبة انموذج دالة التحويل لكونها لا تعطي نمطاً واضحاً في العلاقة بين سلسلتي المدخلات والمخرجات. لذا تم اللجوء الى استخدام طريقة الزاوية لتحديد رتبة الانموذج، حيث سيتم اختيار قيم الاوزان (v_0, v_1, \dots, v_7) فقط عند تطبيق هذه الطريقة التي تم احتسابها في الجدول (6). وباستخدام الصيغ التي ذكرت في الجانب النظري فان:

$$v_{max} = \max_j \{ |v_{1j}| \} = 0.5265$$

وباستخدام المعادلة (2.17) يتم ايجاد قيم الدالة (B) u على النحو الاتي:

$$u(B) = \frac{v(B)}{v_{max}}$$

$$u_0 = \frac{v_0}{v_{max}} = \frac{-0.4371}{0.5265} = -0.830 , u_1 = \frac{v_1}{v_{max}} = \frac{0.5265}{0.5265} = 1.000$$

والجدول التالي يبين قيم (B) u وكما يأتي:

j	0	1	2	3	4	5	6	7
u_j	-	1.000	-	-	0.460	-	0.293	0.578
	0.830		0.575	0.216		0.373		

وبواسطة المصفوفة (2.18) نجد ان :

$$M(0,1) = |u_0| = 0.830$$

$$M(1,1) = |u_1| = 1.000$$

:

$$M(1,7) = |u_7| = 0.578$$

$$M(1,2) = \begin{vmatrix} u_1 & u_0 \\ u_2 & u_1 \end{vmatrix} = \begin{vmatrix} 1 & -0.830 \\ -0.575 & 1 \end{vmatrix} = 0.523$$

$$-0.237 M(2,3) = \begin{vmatrix} u_2 & u_1 & u_0 \\ u_3 & u_2 & u_1 \\ u_4 & u_3 & u_2 \end{vmatrix} = \begin{vmatrix} -0.575 & 1 & -0.830 \\ -0.216 & -0.575 & 1 \\ 0.460 & -0.216 & -0.575 \end{vmatrix} =$$

جدول (6) سلوك اوزان الاستجابة النبضية لدالة التحويل الاولى عند تطبيق طريقة الزاوية

(i,j)	1	2	3	4	5	6	7
0	-0.830	0	0	0	0	0	0
1	1.000	0.532	0	0	0	0	0
2	-0.575	0.547	0.237	-0.160	0.239	0.091	0.003
3	-0.216	0.311	0.291	0.351	0.229	0.007	0.005
4	0.460	0.292	0.183	0.013	-0.084	0.019	-0.008
5	0.373	0.004	0.102	0	0	0	0
6	0.293	-0.130	0.051	0	0	0	0
7	0.578	0.441	0.198	0	0	0	0

ويلاحظ من الجدول (6) ان القيمة في الرتبة $(0,1) = (i,j)$ معنوية وتقع في الصف (0) وهذا يعني ان $b_1 = b_1$. وان اكبر قيمة معنوية في هذا الصف تتمثل بالقيمة (-0.830) تقع في العمود (1) وهذا يشير الى ان $r_1 = r_1$. فيما يلاحظ انه في العمود الاول ان القيم تبدأ بالتزاييد عند الرتبة (1,1) ثم تتناقص في الرتبة (2,1) بمقدار ازاحة واحدة ، وعليه فان $s_1 = s_1$. وببناءً عليه فان رتبة انموذج دالة التحويل الاولى تكون $(1,1,0) = (r_1, s_1, b_1) = (1,1,0)$.

وتأسيساً على ذلك فان الصيغة التقديرية لدالة التحويل الاولى تكون كما يأتي:

$$Y_t = \frac{(\omega_{01} - \omega_{11}B)}{(1 - \delta_{11}B)} X_{1t}$$

وبتعويض قيم الاستجابة النبضية الاولية:

$$\omega_{01} = v_0 = -0.437$$

$$\delta_{11} = \frac{v_2}{v_1} = \frac{-0.3026}{0.5265} = -0.575$$

$$\omega_{11} = \delta_{11} v_0 - v_1 = (-0.575)(-0.437) - 1 = -0.749$$

ومن ثم :

$$Y_t = \frac{(-0.437 + 0.749 B)}{(1 + 0.575 B)} X_{1t}$$

وبالاسلوب نفسه تم تشخيص سلسلة المدخلات الثانية (X_{2t}) وتبين انها تخضع للانموذج ARIMA(3,0,0) بالمعلمات الموضحة في الجدول (7). كما تم ايجاد السلسليتين العشوائيتين (α_{2t} ، β_{2t}) كما في المعادلتين الآتى :

$$(1 - 0.3191B - 0.3007B^2 - 0.3225B^3)X_{2t} = \alpha_{2t}$$

$$(1 - 0.3191B - 0.3007B^2 - 0.3225B^3)Y_t = \beta_{2t}$$

. (r_1, s_1, b_1) = (1, 1, 0) وباستخدام طريقة الزاوية تبين ان رتبة الانموذج هي (1, 1, 0) وتأسساً على ذلك فان الصيغة التقديرية لدالة التحويل الثانية تكون كما يأتى:

$$Y_t = \frac{(\omega_{02} - \omega_{12}B)}{(1 - \delta_{12}B)} X_{2t-1}$$

وبتعويض قيم الاستجابة النبضية الاولية:

$$\omega_{02} = v_1 = -0.336$$

$$\delta_{12} = \frac{v_3}{v_2} = \frac{-0.2058}{-0.4153} = 0.496$$

$$\omega_{12} = \delta_{12} v_1 - v_2 = (0.496)(-0.33610) - (-0.41530) = 0.249$$

ومن ثم :

$$Y_t = \frac{(-0.336 - 0.249 B)}{(1 - 0.496 B)} X_{2t-1}$$

تقدير سلسلة الاخطاء (n_t) للانموذج (DISO)

في المراحل السابقة تم تشخيص دوال التحويل (SISO) لكل سلسلة من سلاسل المدخلات، حيث كانت رتبة الدالة الاولى (r₁, s₁, b₁) = (1, 1, 0) والدالة الثانية (r₂, s₂, b₂) = (1, 1, 1) وتأسساً على ذلك تم ايجاد التقدير الاولى لسلسلة الاخطاء (n_t) على النحو الاتي:

$$n_t = Y_t - \frac{(\omega_{01} - \omega_{11}B)}{(1 - \delta_{11}B)} X_{1t} - \frac{(\omega_{02} - \omega_{12}B)}{(1 - \delta_{12}B)} X_{2t-1}$$

$$n_t = Y_t - (\delta_{11} + \delta_{12})Y_{t-1} + \delta_{11} \delta_{12} Y_{t-2} - \omega_{01} X_{1t} + (\omega_{11} + \omega_{01} \delta_{12}) X_{1t-1} \\ - \omega_{11} \delta_{12} X_{1t-2} - \omega_{02} X_{2t-1} + (\omega_{12} + \omega_{02} \delta_{11}) X_{2t-2} - \omega_{12} \delta_{11} X_{2t-3} \\ + (\delta_{11} + \delta_{12}) n_{t-1} - \delta_{11} \delta_{12} n_{t-2}$$

وبتعويض قيم المعلمات يكون:

$$n_t = Y_t + 0.079 Y_{t-1} - 0.285 Y_{t-2} + 0.437 X_{1t} - 0.966 X_{1t-1} + 0.372 X_{1t-2} \\ + 0.336 X_{2t-1} + 0.442 X_{2t-2} + 0.143 X_{2t-3} - 0.079 n_{t-1} - 0.285 n_{t-2}$$

4.8 تقيير انموذج دالة التحويل DISO

وبعد مطابقة السلسلة (a_t) بالانموذج ARIMA($p_n, 0, q_n$) تبين ان السلسلة (a_t) تخضع للانموذج ARIMA(1,0,0). وعند استخدام الاسلوب التقاري لطريقة المربعات الصغرى غير الخطية لتقيير الانموذج النهائي تم الحصول على نتائج التقدير الآتية:

جدول (7) مقدرات الانموذج النهائي (DISO) للسلالس (X_{1t}) ، (X_{2t}) و(a_t) باستخدام اسلوب التقاري لطريقة المربعات الصغرى غير الخطية

Rep.	ω_{01}	ω_{11}	δ_{11}	ω_{02}	ω_{12}	δ_{12}	θ_1	MSE
0	- 0.437	- 0.749	- 0.575	- 0.336	0.249	0.496	0.609	3.53917E+15
1	- 0.252	- 0.525	- 0.406	- 0.236	0.249	0.493	0.659	3.02869E+15
2	- 0.210	- 0.510	- 0.332	- 0.236	0.200	0.494	0.670	2.83249E+15
3	- 0.202	- 0.505	- 0.290	- 0.200	0.190	0.485	0.665	2.71163E+15
4	- 0.205	- 0.501	- 0.190	- 0.196	0.185	0.480	0.660	2.67812E+15
5	- 0.205	- 0.400	- 0.185	- 0.196	0.175	0.470	0.660	2.43448E+15
6	- 0.204	- 0.302	- 0.175	0.194	0.165	0.450	0.654	1.81848E+15
7	- 0.205	- 0.100	- 0.165	0.195	0.155	0.400	0.655	1.71556E+15
8	- 0.205	- 0.099	- 0.155	0.195	0.100	0.301	0.658	1.54172E+15
9	- 0.204	- 0.099	- 0.100	0.195	0.101	0.200	0.661	1.52606E+15
10	- 0.205	- 0.099	- 0.101	0.196	0.101	0.201	0.660	1.52606E+15

$$Y_t = \frac{(-0.205 + 0.099B)}{(1 + 0.101B)} X_{1t} + \frac{(0.196 - 0.101B)}{(1 - 0.201B)} X_{2t-1} + \frac{a_t}{(1 - 0.660B)}$$

. (MSE = 1.56961E+15)

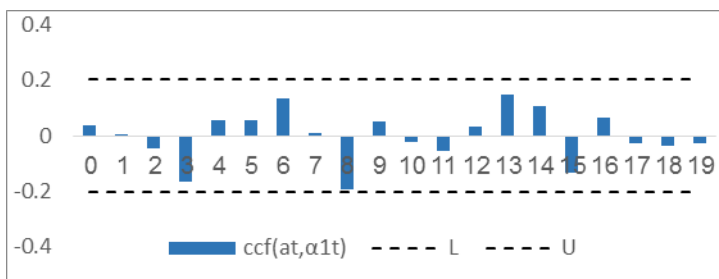
5.8 اختبار ملائمة الانموذج (DISO)

5.8.1 اختبار استقلالية سلسلة البوافي (a_t)

بعد ان تم حساب معاملات دالة الارتباط الذاتي لسلسلة البوافي فقد تم استخدام اختبار بوكس - بيرس (Box - Pierce) للتحقق من عشوائية واستقلالية سلسلة البوافي فكانت قيمة (χ^2) المحسوبة (11.286) وهي اقل من قيمتها الجدولية بدرجة حرية (18) ومستوى معنوية (0.05) المساوية الى (28.87) فهذا يعني ان سلسلة البوافي عشوائية.

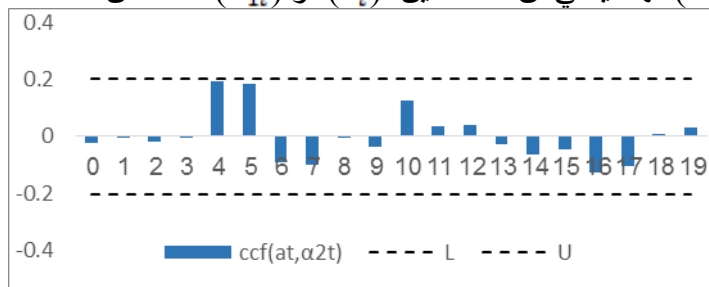
5.8.2 اختبار استقلالية السلاسلتين (a_t) و (a_{1t})

تم اجراء هذا الاختبار من خلال تحليل معاملات دالة الارتباط المتقطع بين السلاسلتين (a_t) و (a_{1t}). وتأسياً على ذلك تم رسمها في الشكل (4). ويتبين من خلال الشكل ان هذه المعاملات تقع داخل حدث الثقة (± 0.204) وبذلك فهي تعد غير معنوية . وبعد اجراء اختبار (Box-Pierce) للاستقصاء عن استقلالية هاتين السلاسلتين تبين قيمة (χ^2) المحسوبة (14.925) اقل من قيمتها الجدولية بدرجة حرية (18) ومستوى معنوية (0.05) المساوية الى (28.87) فهذا يعني ان السلاسلتين (a_t) و (a_{1t}) مستقلتان.



شكل (4) رسم معاملات دالة الارتباط المتقاطع (CCF) بين السلاسلتين (a_t) و (a_{1t}) اختبار استقلالية السلاسلتين (a_t) و (a_{2t})

تم حساب معاملات دالة الارتباط المتقاطع بين السلاسلتين (a_t) و (a_{2t}) ومن ثم رسمها في الشكل (5). ويتبين من خلال الشكل ان هذه المعاملات تقع داخل حدود الثقة (± 0.204) وبذلك فهي تعد غير معنوية . وبعد اجراء اختبار (Box-Pierce) لاستقصاء عن استقلالية هاتين السلاسلتين تبين قيمة (χ^2) المحسوبة (13.824) اقل من قيمتها الجدولية بدرجة حرية (18) ومستوى معنوية (0.05) المساوية الى (28.87) فهذا يعني ان السلاسلتين (a_t) و (a_{1t}) مستقلتان



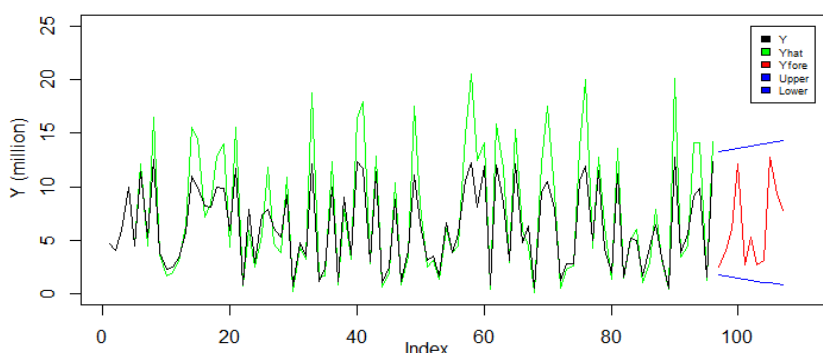
شكل (5) رسم معاملات دالة الارتباط المتقاطع (CCF) بين السلاسلتين (a_t) و (a_{2t}) 7.3.8 حساب القيم التنبؤية :

تم حساب القيم التنبؤية لقيم عرض النقد (y_t) لـ (12) شهراً مع الحدين الادنى والاعلى وكانت النتائج كما في الجدول (8) فضلاً عن ذلك فقد تم رسم القيم الاصلية والتقديرية لسلسلة عرض النقد (y_t) مع القيم التنبؤية لها و الحدين الاعلى والادنى باستخدام الانموذج (MISO) كما في الشكل (6) .

جدول (8) القيم التنبؤية مع حدي الثقة للسلسلة (y_t) باستخدام الانموذج MISO

t	Forecast	Lower	Upper
97	2.48185E+07	1.78223E+07	3.98233E+07
98	4.07336E+07	1.68665E+07	1.33144E+08
99	6.00247E+07	1.58401E+07	1.34211E+09
100	1.21550E+08	1.48342E+07	1.35523E+08
101	2.74230E+07	1.38983E+07	1.36762E+08
102	5.24069E+09	1.28561E+07	1.37148E+08
103	2.66082E+07	1.18218E+07	1.38275E+08
104	3.15476E+07	1.08243E+07	1.39497E+08
105	1.27759E+08	9.82160E+06	1.44531E+08

106	9.35024E+07	8.82740E+06	1.41766E+08
107	7.77380E+07	7.82770E+06	1.42831E+08
108	6.67758E+07	6.82350E+06	1.43943E+08



شكل (6) رسم القيم الاصلية والتقديرية للسلسلة (Y_t) مع القيم التنبؤية و الحدين الاعلى والادنى للانموذج (DISO)

و فيما يلي ملخص للنماذج المقدرة في الجانب التطبيقي:

جدول (9) نتائج المقارنة بين النماذج (SISO) ، (DIS0) ، ARIMA (SISO₁) و ARIMA (SISO₂) مع المعايير (MSE) و (AIC)

	Models	MSE	AIC
1	DIS0(X_1 and X_2 as input series)	1.52606E+15	3794.478
2	(X_1 as input series)SISO ₁	1.56981E+15	3797.192
3	(X_2 as input series)SISO ₂	1.53172E+15	3794.834
8	ARIMA(2,0,0) of Y – seies	2.05577E+15	3823.088

6.8 الاستنتاجات :

- ان سلاسل المدخلات للانموذج (DISO) كانت خالية من التأثيرات الموسمية وهي مستقرة في المتوسط.
- تبين ان مشاهدات سلاسل المدخلات كانت مستقلة مع بعضها الامر الذي جعل عملية بناء الانموذج (DISO) خالية من تداخل وتقاطع دوال التحويل ومن ثم كانت مراحل الانموذج اقل تعقيداً.
- ان الارتباط المتقطع بين السلاسل العشوائية (α_t, β_t) للانموذج كان غير كافٍ في تحديد رتب دوال التحويل الثلاث ، الامر الذي يتطلب استخدام طريقة الزاوية (Corner Method).
- ان نتائج التنبؤ كانت تتناغم مع مشاهدات عرض النقد للاشهر السابقة.
- من خلال نتائج الجدول (9) يتبين ان الانموذج (DISO) كانت له المرتبة الاولى في الافضلية لكونه اعطى اقل قيمة للمعيارين (MSE) و(AIC) بالمقارنة مع النماذج الاخرى المقترنة، ويليه الانموذج (SISO₂) ثم الانموذج (SISO₁)

7.8 التوصيات :

- القيام بوضع آلية مقترنة لتشخيص رتبة انموذج دالة التحويل سواء كان احادي المتغيرات ام متعدد المتغيرات غير المستخدمة في الرسالة وذلك في ضوء وجود التأثيرات الموسمية من عدمها.



2. نوصي بدراسة وتطبيق انموذج دالة التحويل متعدد المدخلات – متعدد المخرجات (MIMO).
3. اقتراح تطبيق انموذج دالة التحويل متعدد المتغيرات (DISO) في حالة كون المدخلات مرتبطة (غير مستقلة).

المصادر

- [1] Abdulaziz, G.M., Faith, A.A.S., Ashaikh, A.A. and Salem, A.Z. (2020). A transfer function technique for modelling Sudanese agricultural exports, International Journal of Current Research,12 (9), 13699-13705.
- [2] Box G. E. P, Jenkins G. M. and Reinsel G. C. (2008) Time Series Analysis Forecasting and Control Fourth Edition (New Jersey: John Wiley & Sons, Inc).
- [3] Ding, F., Chen, H. and Li, m.(2007)." Multi-innovation least squares identification methods based on the auxiliary model for MISO systems", Applied Mathematics and Computation Vol. 177,PP 658-668. *J. Service Science & Management*, 3: 91-97.
- [4] Liu,L-M.(1991)." Use of Linear Transfer Function Analysis in Econometric Time Series modelling", *Statistica sinica*, no.1,pp 503-525.
- [5] Nwafor, G.O, Etuk. E.H., Emeka, A. (2018). Multivariate transfer function modeling: an application, *Research Journal of Mathematics*. Vol. 5(5), 2349-5375
- [6] Olason,T. and Edgar ,W.(1986)." Multivariate Transfer Function-Noise Model of River Flow for Hydropower Operation", *Nordic Hydrology*, 17, PP. 185-202.
- [7] Otok BW and Suhartono. Development of rainfall forecasting model in Indonesia by using ASTAR, Transfer function and ARIMA methods. European journal of scientific research. 2009;38:386-395.
- [8] Wei, W. W. S. (2006) Time Series Analysis Univariate and Multivariate Methods Second Edition (Boston: Pearson Education, Inc.).



Using the two-input Transfer Function (DISO) in Financial Time Series

NazarWaleed Jassam

Dr. Jawad KadhimKhudhair

nazarusa@uomustansiriyah.edu.iq

jwad_k@uomstansiriyah.edu.iq

Abstract:

In most studies of time series analysis, it is noted that most models that are described by one variable may not give accurate future predictions for the series studied, due to lack of attention to their relationship with external indicators of other time series associated with them, as is the case in multiple regression models. Due to the importance of this type of model because it combines the dynamic property of time series with the causal property of multiple regression models, and accordingly, transfer function models were applied with binary inputs and single outputs for monthly observations that include three time series to predict one of the financial indicators (money supply) with two series of inputs (loans). And advances) and (private sector debt). In this research, an alternative method was used to diagnose the ranks of the transfer functions based on the Corner Method. It turned out that the ranks of the transfer functions were $TF_1(1,0,1)$ and $TF_2(1,1,1)$.

For the purpose of investigating the accuracy of the model (DISO) matching the data, three other models were applied to the aforementioned data for comparison. Two of them are related to the single-input-single-output (SISO) transfer function models, in addition to the ARIMA model. The application results showed the preference of the (DISO) model because it gave the lowest value for the two criteria (MSE) and (AIC) compared to other models.

Keywords: Transfer Function Model, Bivariate Time Series , Corner Method.